

## 1. まえがき

梁の大たわみに関する研究は多く行われている。ここ十多年来進歩しきりに有限要素法もこの分野でしばしば適用されている。しかし、多くの人が荷重増分の都度、釣合、尺位置を再度釣合方程式を立て、繰り返し解いく方法である。この方法は、云々換えると、荷重増分のたびに座標変換することになる。又、多くの軸力による変形を無視している。この報告では、仮想仕事の原理に基づき、有限要素法を適用して、座標と固定して解こうとしたものである。梁の軸力による変形を含めて、Elastica の問題に適用した。

## 2. 仮想仕事による釣合方程式

仮想仕事の原理に基づけば、自重による仕事の項を除くと次のようなく釣合方程式は与えられる。

$$\int \sigma_{ij} s e_{ij} dv = \int t_i s u_i ds \quad (1)$$

ここで、 $\sigma_{ij}$ ,  $e_{ij}$ ,  $t_i$  および  $u_i$  は、それそれぞれ応力テンソル、ひずみテンソル、表面の外力および変位である。クリーンの有限変位のひずみテンソルは次のようになります。

$$e_{ij} = \frac{1}{2} (u_{ij} + u_{ji} + u_{ki} - u_{kj}) \quad (2)$$

式(2)を式(1)に代入し、応力テンソルの対称性を考慮すると全荷重に対する釣合方程式は次のようになる。

$$\int \sigma_{ij} s u_{ij} dv + \int \sigma_{ij} u_{ki} s u_{kj} dv = \int t_i s u_i ds \quad (3)$$

一方、漸増荷重による釣合方程式は次のように求めることができます。 $\sigma_{ij}$  および  $e_{ij}$  を、それそれぞれ初期状態における応力およびひずみテンソルとし、 $\sigma_{ij}$  および  $e_{ij}$  を漸増荷重による応力およびひずみテンソルとすれば、 $e_{ij}$  は  $(\bar{e}_{ij} + e_{ij}) - \bar{e}_{ij}$  から求められるので、釣合方程式は次のように導かれます。

$$\int \sigma_{ij} s u_{ij} dv + \int \bar{\sigma}_{ij} u_{ki} s u_{kj} dv + \int \sigma_{ij} \bar{u}_{ki} s u_{kj} dv + \int \sigma_{ij} u_{ki} s u_{kj} dv = \int t_i s u_i ds \quad (4)$$

## 3. 梁の曲げへの適用

梁の曲げの解析では、一般に軸に直角に作用する応力は無視するので応力テンソルは次のようになる。

$$\sigma_{ij} = \begin{bmatrix} 0 & \sigma_{yz} \\ \sigma_{yz} & \sigma_z \end{bmatrix} \quad (5)$$

今おじう方向の変位  $v$  および  $w$  (Fig-1) は、 $\sin v' = v'$ ,  $\cos v' = 1$  とみなせば、

$$v = v_0 \quad (6a)$$

$$w = w_0 - v_0' z \quad (6b)$$

式(5), (6a)および(6b)を式(4)に代入すると式(4)の各項は次のように表わせる。

$$\int \sigma_{ij} s u_{ij} dv = \int (P s w_0' - M_x s v_0') dz \quad (7a)$$

$$\int \bar{\sigma}_{ij} u_{ki} s u_{kj} dv = \int \{-\bar{M}_x (v_0' s w_0' + w_0' s v_0') + \frac{1}{2} \bar{L}_x (v_0' s v_0'' + v_0'' s v_0') + \bar{P} (v_0' s v_0' + w_0' s w_0')\} dz \quad (7b)$$

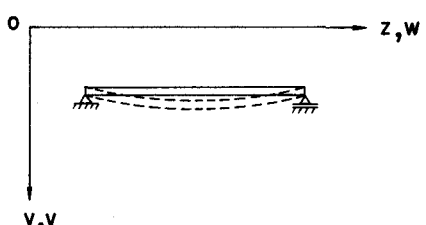


Fig. 1 Coordinate System

$\int \sigma_{ij} \bar{u}_{ki} s u_{kj} dv$  および  $\int \sigma_{ij} u_{ki} s u_{kj} dv$  は式(7b)の各項のうち、 $\bar{u}_{ki}$  に相当するものに一を付して式、および一を全く付さない式となる。

上式中部材力  $P$ ,  $M_x$  および  $L_x$  は次のように定義される。

$$P = \int_A \sigma_y dA, \quad M_x = \int_A \sigma_y y dA, \quad L_x = \int_A \sigma_y y^2 dA \quad (8)$$

また,  $\sigma_y = E(\bar{w}_c - v_0)$  を式(8)に代入して, 行列表示すると,

$$\begin{bmatrix} P \\ M_x \\ L_x \end{bmatrix} = \begin{bmatrix} A & S_x \\ S_x & I_x \\ I_x & U_x \end{bmatrix} \begin{bmatrix} E w_c \\ -E v_0 \end{bmatrix} \quad (9)$$

ここで,  $A = \int_A dA$ ,  $S_x = \int_A y^2 dA$ ,  $I_x = \int_A y^3 dA$  および  $U_x = \int_A y^4 dA$  で定義され, 断面力  $M_x$  および  $L_x'$  は

$$\begin{bmatrix} M_x \\ L_x' \end{bmatrix} = \begin{bmatrix} S_x & I_x \\ I_x & U_x \end{bmatrix} \begin{bmatrix} E w_c \\ -E v_0 \end{bmatrix} \quad (10)$$

#### 4. 有限要素法の適用

変位応答に対して 2 次関数, 変位応答に対しては 3 次関数を用いれば, 要素内の変位関数は次のように仮定できる。

$$w_c = \langle f_2 \rangle \{ \bar{w} \}, \quad v_0 = \langle f_3 \rangle \{ \bar{v} \} \quad (11)$$

ここで,  $\{ \bar{w} \}$ , および  $\{ \bar{v} \}$  は節点変位のベクトルであり,  $\langle f_2 \rangle$  および  $\langle f_3 \rangle$  は

$$\langle f_2 \rangle = \langle (2\beta - 1)(\beta - 1), -4\beta(\beta - 1), \beta(2\beta - 1) \rangle, \quad \langle f_3 \rangle = \langle -13\beta^2 + 2\beta^3, 8 - 2\beta^2 + \beta^3, 3\beta^2 - 2\beta^3, \beta^3 - \beta^2 \rangle \quad (12)$$

式(12)において,  $\beta = \delta/L$  である。式(11)を式(7)に代入して有限要素化すると次のようになる。

Stiffness Matrix  $[K_s]$

$$[K_s] = \begin{bmatrix} [k_{22}'' A] & -[k_{22}'' S_x] \\ -[k_{22}'' S_x] & [k_{22}'' I_x] \end{bmatrix} \quad (13a)$$

Geometric Matrix  $[K_g]$

$$[K_g] = \begin{bmatrix} [k_{22}'' \bar{P}] & [k_{22}'' \bar{M}_x] - [k_{22}'' \bar{M}_x'] \\ \vdots & \vdots \\ [k_{22}'' \bar{M}_x] - [k_{22}'' \bar{M}_x'] & [k_{22}'' \bar{L}_x] + [k_{22}'' \bar{L}_x'] \\ [k_{33}'' \bar{P}] + [k_{33}'' \bar{L}_x] & \vdots \\ \vdots & \vdots \\ [k_{33}'' \bar{L}_x] & [k_{33}'' \bar{P}] - [k_{33}'' \bar{M}_x] \end{bmatrix} \quad (13b)$$

Initial Deformation Matrix  $[K_d]$

$$[K_d] = \begin{bmatrix} [k_{22}'' A \bar{w}_c] - [k_{22}'' S_x \bar{v}_0] \\ [k_{22}'' A \bar{v}_c] - [k_{22}'' S_x \bar{w}_c] + [k_{22}'' I_x \bar{w}_c] - [k_{22}'' S_x \bar{v}_c] \\ \vdots \\ \frac{1}{2}[k_{22}'' I_x \bar{w}_c] + \frac{1}{2}[k_{22}'' I_x \bar{v}_c] - [k_{22}'' S_x \bar{v}_c] \end{bmatrix} \quad (13c)$$

$$\begin{bmatrix} -[k_{22}'' S_x \bar{w}_c] + [k_{22}'' I_x \bar{v}_c] \\ -[k_{22}'' S_x \bar{v}_c] + [k_{22}'' I_x \bar{w}_c] - [k_{22}'' U_x \bar{w}_c] + [k_{22}'' I_x \bar{v}_c] \\ \vdots \\ -\frac{1}{2}[k_{22}'' I_x \bar{w}_c] - \frac{1}{2}[k_{22}'' I_x \bar{v}_c] + [k_{22}'' S_x \bar{v}_c] \end{bmatrix} \quad (13c)$$

Non linear Stiffness Matrix  $[K_N]$  は  $[K_d]$  中の変位応答および  $v_0$  が  $\delta$  および  $\bar{v}_0$  とす,  $R$  マトリックスである。分布荷重に対する荷重ベクトル  $\{R\}$  は

$$\{R\} = \begin{bmatrix} \bar{q}_3 \langle f_2 \rangle \\ \bar{q}_3 \langle f_3 \rangle + m_3 \langle f_3 \rangle \end{bmatrix} \quad (13d)$$

式(13a)~(13c)において, 小括弧は次の定義によると

$$[k_{ij}^{(k)} g_i^{(l)}(P) R_j^{(k)}(P)] = \frac{1}{2\pi R^2 n^2} \int_0^R \langle f_i^{(k)} \rangle \langle f_i^{(l)} \rangle \langle f_n^{(k)} \rangle \langle f_n^{(l)} \rangle dP \quad (14)$$

ここで  $g_i^{(k)}$  および  $f_i^{(k)}$  は  $A$ ,  $S_x$  などの断面係数の関数である。  $P$ ,  $M_x$  などの初期応力, あるいは  $\bar{w}_c$ ,  $\bar{v}_0$  などの初期変位としてもよい。いつもも子の荷重と考えて。要素の結合方程式は次のようになる。

$$[[K_s] + [K_g] + [K_d] + [K_N]] \{r\} = \{R\} \quad (15)$$

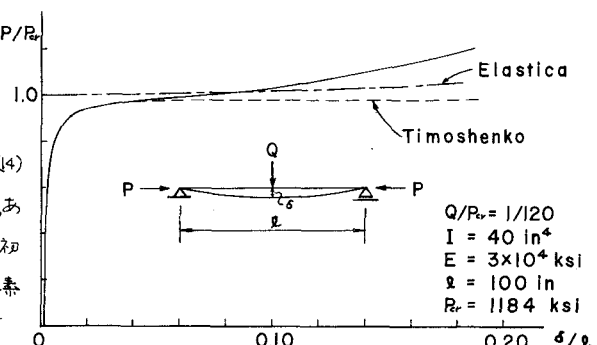


Fig. 2 Load-Deflection Relationships

#### 5. 計算例

以上の計算式に基づいて, 軸力を受ける梁の問題に適した。梁断面の係数は Fig-2 示す通りで、この梁に一定の横荷重  $10 \text{ kips}$  が作用している。軸力  $P$  と梁中央のたわみ  $\delta$  の関係を Fig-2 に示す。無次元化のため,  $P$  は座屈荷重  $P_r$  で,  $\delta$  は長さで割り,  $R$  もそれを用いる。

謝辞: この研究はカナダ・アルバータ大学の D.W. Murray の指導のもとで行われた。